



دانشگاه ارومیه
دانشکده فنی و مهندسی

هیدرولیک کاربردی

تصنیف:

دکتر میر علی محمدی

دانشیار مهندسی عمران (هیدرولیک و مکانیک مهندسی رودخانه)

دانشکده فنی و مهندسی دانشگاه ارومیه

۱۳۹۸ زمستان

بِسْمِ اللَّهِ الرَّحْمَنِ الرَّحِيمِ
الْحُمَرَاءُ الْمُكَبَّرَةُ
لِمَنْ يَعْلَمُ مِنَ الْأَنْوَارِ

تقدیم به:

ارواح بلند و خستگی‌ناپذیر مرحومین پدرم و مادرم،
همسر و فرزندانم

تشکر و سپاسگزاری:

با تشکر و سپاس فراوان خود را به

<u>صفحه</u>	<u>فهرست مطالب مندرج</u>
۱	۱ مقدمه ای بر هیدرولیک جریان در کانال های روبرو باز
۲	۱-۱ مقدمه
۲	۲-۱ کانال ها
۲	۲-۱-۱ انواع کانال ها

۴	۲-۲-۱ عناصر هندسی و هیدرولیکی کانال‌ها
۵	۳-۱ هیدرولیک جریان در کانال‌ها
۵	۳-۲-۱ انواع جریان در کانال‌های روباز
۸	۳-۲-۱ رژیم جریان در کانال‌ها
۱۰	۴-۱ توزیع سرعت جریان در کانال‌ها
۱۱	۴-۱ توزیع سرعت در امتداد مسیر جریان
۱۳	۲-۴-۱ منحنی‌های هم سرعت (<i>Isovels</i>)
۱۴	۵-۱ توزیع فشار
۱۵	۶-۱ جریان یکنواخت
۱۷	۷-۱ جریان در مسیرهای انحنادار
<hr/>	
۱۹	۲ معادلات هیدرودینامیک جریان
۲۰	۲-۱ معادله پیوستگی
۲۲	۲-۲ معادله انرژی
۲۷	۲-۳ انرژی مخصوص
۲۸	۲-۳-۱ منحنی انرژی مخصوص
۳۰	۲-۳-۲ منحنی دبی
۳۲	۲-۳-۳ عمق بحرانی
۳۵	۲-۵ معادلات هیدرودینامیک جریان
۳۵	۲-۵-۱ جریان یکنواخت
۳۷	۲-۵-۳ جریان غیر یکنواخت
۴۰	۲-۶ معادلات توزیع سرعت جریان
<hr/>	
۴۲	۳ جریان یکنواخت در کانال‌های روباز
۴۳	۳-۱ معادلات هیدرودینامیک جریان
۴۳	۳-۱-۱ دیدگاه یکنواختی جریان
۴۴	۳-۱-۲ معادله پیوستگی
۴۴	۳-۱-۳ معادله حرکت
۴۷	۳-۲ ضریب اصطکاک
۴۸	۳-۲-۱ ضریب اصطکاک دارسی-ویسباخ

۵۲	۳-۲-۲ ضریب زبری شزی
۵۵	۳-۲-۳ ضریب زبری مانینگ
۵۶	۴-۲-۳-۳ زبری مختلط در مقاطع کanal ها
۵۷	۳-۳-۳ محاسبه دبی، بستر ثابت
۵۸	۱-۳-۳-۳ ظرفیت انتقال (گذردهی)
۵۹	۲-۳-۲ عمق نرمال
۶۰	۳-۳-۳ مقطع مختلط (کامپوزیت)
۶۱	۴-۳-۳ سطح مقطع دبی بیشینه
۶۳	۴-۴-۳ محاسبه دبی، بستر متحرک
۶۵	۱-۴-۴-۳ سرعت رسوب‌گذاری (ته نشینی)
۶۵	۴-۴-۲ سرعت بحرانی
۶۸	۳-۴-۳ توزیع تنش برشی
۷۰	۴-۴-۴ مقطع پایدار هیدرولیکی
۷۳	۷-۳-۳ تمرینات و مسائل
۷۳	۱-۷-۳ تمرینات حل شده
۹۰	۲-۷-۲ مسائل حل نشده

۴ جریان غیریکنواخت در کانال‌های روباز

۹۵	۱-۴ جریان متغیر تدریجی
۹۵	۱-۱-۴ معادلات ساده شده سن-ونان (<i>Saint-Venant eqs.</i>)
۹۷	۲-۱-۴ معادلات سطح آب
۱۰۱	۳-۱-۴ شیب بحرانی
۱۰۲	۲-۴-۴ شکل‌های پروفیل سطح آب
۱۰۴	۱-۲-۴ کانال‌های با شیب ملائم
۱۰۶	۲-۲-۴ کانال‌های با شیب تندر
۱۰۹	۳-۲-۴ کانال‌های با شیب بحرانی
۱۰۹	۴-۲-۴ کانال‌های با شیب افقی
۱۱۰	۵-۲-۴ کانال‌های با شیب معکوس
۱۱۱	۳-۴-۴ محاسبه پروفیل‌های سطح آب

۱۱۱	۴-۳-۱ روش تقریبات متوالی (روش گام استاندارد و روش گام مستقیم)
۱۱۶	۴-۳-۲ روش انتگرال‌گیری مستقیم
۱۲۴	۴-۴ جریان متغیر سریع
۱۲۴	۴-۴-۱ مقدمه
۱۲۵	۴-۴-۲ پرش هیدرولیکی و کاربردهای آن
۱۳۳	۴-۵ جریان ورودی جانبی
۱۳۶	۴-۶ تمرینات و مسائل:
۱۳۶	۴-۶-۱ تمرینات حل شده
۱۶۴	۴-۶-۲ تمرینات حل نشده

۵ هیدرولیک کانال‌های رسوبی (حمل رسوبات و مواد جامد)

۱۷۲	۵-۱ کلیات
۱۷۳	۵-۱-۱ مقدمه
۱۷۳	۵-۱-۲ جریان مخلوط آب و رسوبات
۱۷۴	۵-۱-۳ خواص ذرات رسوبی
۱۷۵	۵-۲ تشریح حرکت ذرات رسوبی
۱۷۸	۵-۲-۱ ذرات در سرعت‌های جریان مغشوش
۱۷۸	۵-۲-۲ نظریه طول اختلاط پرانتل
۱۸۰	۵-۳ آستانه حرکت ذرات رسوبی
۱۸۳	۵-۳-۱ شیوه تحلیلی برای تعیین حد آستانه حرکت ذرات رسوبی
۱۸۵	۵-۴ اشکال (یا مُدهای) مختلف انتقال رسوبات
۱۸۹	۵-۵ انواع مسائل مختلف انتقال رسوبات
۱۹۲	۵-۶ معادلات هیدرودینامیک جریان
۱۹۳	۵-۶-۱ معادلات سن-ونان-اگزner (<i>Saint-Venant-Exner eqs.</i>)
۱۹۳	۵-۶-۲ فرسایش و تهشیینی رسوبات
۱۹۶	۵-۷ بار معلق (<i>Suspended Load</i>)
۲۰۱	۵-۷-۱ مقدمه
۲۰۱	۵-۷-۲ ملاحظات نظری
۲۰۹	۵-۷-۳ رابطه بار معلق اینشتین

۲۱۴	۵-۸ بار بستر (<i>Bed Load</i>)
۲۱۴	۵-۸-۱ مقدمه
۲۱۴	۵-۸-۲ ملاحظات نظری
۲۲۰	۵-۸-۳ رابطه‌های بار بستر
۲۲۲	۵-۸-۴ تعیین احتمال وقوع فرسایش کف بستر
۲۲۵	۵-۸-۵ معادله بار بستر
۲۳۰	۵-۹ بار کل مواد رسوبی (<i>Total Load</i>)
۲۳۰	۵-۹-۱ مقدمه
۲۳۰	۵-۹-۲ رابطه‌های بار کل مواد رسوبی
۲۳۳	۵-۹-۳ رابطه اکرز و وايت (Ackers & White, 1973 & 1993)
۲۳۵	۵-۱۰ بار شستشو (<i>Wash Load</i>)
۲۳۶	۵-۱۱ کاربردها (<i>Applications</i>)
۲۴۷	۵-۱۲ مسائل

۶ آب شستگی مو ضعی در کانال‌ها و رودخانه‌ها

۲۵۰	۶-۱ کلیات
۲۵۱	۶-۲ آب شستگی پایه میانی
۲۵۲	۶-۲-۱ فرآیند آب شستگی
۲۵۵	۶-۲-۲ مسیر و شکل جریان
۲۵۶	۶-۲-۳ رابطه‌های تابعی
۲۶۶	۶-۲-۴ فرمول‌های طراحی
۲۶۷	۶-۲-۵ پیش‌گیری از آب شستگی
۲۶۹	۶-۳ آب شستگی پایه کناری
۲۷۰	۶-۳-۱ مسیر جریان و آب شستگی
۲۷۱	۶-۳-۲ رابطه‌های تابعی
۲۷۴	۶-۳-۳ فرمول‌های طراحی
۲۷۶	۶-۴ آب شستگی در اثر تنگ‌شدگی مقطع
۲۷۶	۶-۴-۱ ملاحظات هیدرولیکی
۲۷۸	۶-۴-۲ رابطه‌های عمق-آب شستگی

۲۸۱	۶-۴-۳ فرمول طراحی
۲۸۲	۶-۵ آبشنستگی در سازه‌های هیدرولیکی
۲۸۲	۶-۵-۱ دیدگاهها
۲۸۴	۶-۵-۲ گذر جریان از روی یک سازه
۲۸۸	۶-۵-۳ جریان در زیر یک سازه
۲۹۱	۶-۶ تمرینات
۲۹۱	۶-۶-۱ تمرینات حل شده
۳۱۱	۶-۶-۲ مسائل

<u>صفحه</u>	<u>فهرست مطالب مندرج</u>
۱	۱ مقدمه‌ای بر هیدرولیک جریان در کانال‌های روباز
۲	۱-۱ مقدمه
۲	۱-۲ کانال‌ها
۲	۱-۲-۱ انواع کانال‌ها
۴	۱-۲-۲ عناصر هندسی و هیدرولیکی کانال‌ها
۵	۱-۲-۳ هیدرولیک جریان در کانال‌ها
۵	۱-۳-۱ انواع جریان در کانال‌های روباز
۸	۱-۳-۲ رژیم جریان در کانال‌ها
۱۰	۱-۴ توزیع سرعت جریان در کانال‌ها
۱۱	۱-۴-۱ توزیع سرعت در امتداد مسیر جریان
۱۳	۱-۴-۲ منحنی‌های هم سرعت (<i>Isovels</i>)
۱۴	۱-۵ توزیع فشار
۱۵	۱-۶ جریان یکنواخت
۱۷	۱-۷ جریان در مسیرهای انحنادار
۱۹	۲ معادلات هیدرودینامیک جریان
۲۰	۲-۱ معادله پیوستگی
۲۲	۲-۲ معادله انرژی

۲۷	۲-۳ انرژی مخصوص
۲۸	۲-۳-۱ منحنی انرژی مخصوص
۳۰	۲-۳-۲ منحنی دبی
۳۲	۲-۳-۳ عمق بحرانی
۳۵	۲-۵ معادلات هیدرودینامیک جریان
۳۵	۲-۵-۱ جریان یکنواخت
۳۷	۲-۵-۳ جریان غیر یکنواخت
۴۰	۲-۶ معادلات توزیع سرعت جریان

۳ جریان یکنواخت در کانال های روباز

۴۲	۳-۱ معادلات هیدرودینامیک جریان
۴۳	۳-۱-۱ دیدگاه یکنواختی جریان
۴۴	۳-۱-۲ معادله پیوستگی
۴۴	۳-۱-۳ معادله حرکت
۴۷	۳-۲ ضریب اصطکاک
۴۸	۳-۲-۱ ضریب اصطکاک دارسی-ویسباخ
۵۲	۳-۲-۲ ضریب زبری شزی
۵۵	۳-۲-۳ ضریب زبری مانینگ
۵۶	۳-۲-۴-۳ زبری مختلط در مقاطع کanal ها
۵۷	۳-۳ محاسبه دبی، بستر ثابت
۵۸	۳-۳-۱ ظرفیت انتقال (گذردهی)
۵۹	۳-۳-۲ عمق نرمال
۶۰	۳-۳-۳ مقطع مختلط (کامپوزیت)
۶۱	۳-۳-۴ سطح مقطع دبی بیشینه
۶۳	۳-۴ محاسبه دبی، بستر متحرک
۶۵	۳-۴-۱ سرعت رسوب‌گذاری (ته نشینی)
۶۵	۳-۴-۲ سرعت بحرانی
۶۸	۳-۴-۳ توزیع تنش برشی
۷۰	۳-۴-۴ مقطع پایدار هیدرولیکی

۷۳	۳-۷ تمرینات و مسائل
۷۳	۳-۷-۱ تمرینات حل شده
۹۰	۳-۷-۲ مسائل حل نشده
<hr/>	
۹۴	۴ جریان غیریکنواخت در کانال‌های روباز
۹۵	۴-۱ جریان متغیر تدریجی
۹۵	۴-۱-۱ معادلات ساده شده سن-ونان (<i>Saint-Venant eqs.</i>)
۹۷	۴-۱-۲ معادلات سطح آب
۱۰۱	۴-۱-۳ شیب بحرانی
۱۰۲	۴-۲ شکل‌های پروفیل سطح آب
۱۰۴	۴-۲-۱ کانال‌های با شیب ملائم
۱۰۶	۴-۲-۲ کانال‌های با شیب تندر
۱۰۹	۴-۲-۳ کانال‌های با شیب بحرانی
۱۰۹	۴-۲-۴ کانال‌های با شیب افقی
۱۱۰	۴-۲-۵ کانال‌های با شیب معکوس
۱۱۱	۴-۳ محاسبه پروفیل‌های سطح آب
۱۱۱	۴-۳-۱ روش تقریبات متوالی (روش گام استاندارد و روش گام مستقیم)
۱۱۶	۴-۳-۲ روش انتگرال‌گیری مستقیم
۱۲۴	۴-۴ جریان متغیر سریع
۱۲۴	۴-۴-۱ مقدمه
۱۲۵	۴-۴-۲ پرش هیدرولیکی و کاربردهای آن
۱۳۳	۴-۵ جریان ورودی جانبی
۱۳۶	۴-۶ تمرینات و مسائل:
۱۳۶	۴-۶-۱ تمرینات حل شده
۱۶۴	۴-۶-۲ تمرینات حل نشده
<hr/>	
۱۷۲	۵ هیدرولیک کانال‌های رسوبی (حمل رسوبات و مواد جامد)
۱۷۳	۵-۱ گلیات
۱۷۳	۵-۱-۱ مقدمه

۱۷۴	۵-۱-۲ جریان مخلوط آب و رسوبات
۱۷۵	۵-۱-۳ خواص ذرات رسوبی
۱۷۸	۵-۲ تشریح حرکت ذرات رسوبی
۱۷۸	۵-۲-۱ ذرات در سرعت‌های جریان مغشوش
۱۸۰	۵-۲-۲ نظریه طول اختلاط پرانتل
۱۸۳	۵-۳ آستانه حرکت ذرات رسوبی
۱۸۵	۵-۳-۱ شیوه تحلیلی برای تعیین حد آستانه حرکت ذرات رسوبی
۱۸۹	۵-۴ اشکال (یا مُدهای) مختلف انتقال رسوبات
۱۹۲	۵-۵ انواع مسائل مختلف انتقال رسوبات
۱۹۳	۵-۶ معادلات هیدرودینامیک جریان
۱۹۳	۵-۶-۱ معادلات سن-وتان-اگزner (<i>Saint-Venant-Exner eqs.</i>)
۱۹۶	۵-۶-۲ فرسایش و تهشیینی رسوبات
۲۰۱	۵-۷ بار معلق (<i>Suspended Load</i>)
۲۰۱	۵-۷-۱ مقدمه
۲۰۱	۵-۷-۲ ملاحظات نظری
۲۰۹	۵-۷-۳ رابطه بار معلق اینشتین
۲۱۴	۵-۸ بار بستر (<i>Bed Load</i>)
۲۱۴	۵-۸-۱ مقدمه
۲۱۴	۵-۸-۲ ملاحظات نظری
۲۲۰	۵-۸-۳ رابطه‌های بار بستر
۲۲۲	۵-۸-۴ تعیین احتمال وقوع فرسایش کف بستر
۲۲۵	۵-۸-۵ معادله بار بستر
۲۳۰	۵-۹ بار کل مواد رسوبی (<i>Total Load</i>)
۲۳۰	۵-۹-۱ مقدمه
۲۳۰	۵-۹-۲ رابطه‌های بار کل مواد رسوبی
۲۳۳	۵-۹-۳ رابطه اکرز و وايت (<i>Ackers & White, 1973 & 1993</i>)
۲۳۵	۵-۱۰ بار شستشو (<i>Wash Load</i>)
۲۳۶	۵-۱۱ کاربردها (<i>Applications</i>)
۲۴۷	۵-۱۲ مسائل

۶ آب شستگی مو ضعی در کانالها و رودخانه ها

۲۵۰	۶-۱ کلیات
۲۵۱	۶-۲ آبشنستگی پایه میانی
۲۵۲	۶-۲-۱ فرآیند آبشنستگی
۲۵۵	۶-۲-۲ مسیر و شکل جریان
۲۵۶	۶-۲-۳ رابطه های تابعی
۲۶۶	۶-۲-۴ فرمول های طراحی
۲۶۷	۶-۲-۵ پیشگیری از آبشنستگی
۲۶۹	۶-۳ آبشنستگی پایه کناری
۲۷۰	۶-۳-۱ مسیر جریان و آبشنستگی
۲۷۱	۶-۳-۲ رابطه های تابعی
۲۷۴	۶-۳-۳ فرمول های طراحی
۲۷۶	۶-۴ آبشنستگی در اثر تنگ شدگی مقطع
۲۷۶	۶-۴-۱ ملاحظات هیدرولیکی
۲۷۸	۶-۴-۲ رابطه های عمق-آبشنستگی
۲۸۱	۶-۴-۳ فرمول طراحی
۲۸۲	۶-۵ آبشنستگی در سازه های هیدرولیکی
۲۸۲	۶-۵-۱ دیدگاهها
۲۸۴	۶-۵-۲ گذر جریان از روی یک سازه
۲۸۸	۶-۵-۳ جریان در زیر یک سازه
۲۹۱	۶-۶ تمرینات
۲۹۱	۶-۶-۱ تمرینات حل شده
۳۱۱	۶-۶-۲ مسائل

شماره
صفحه

عنوان شکل های فصل ۱

- شکل ۱-۳: فرم عمومی جریان های دائمی و غیردائمی در کanal های رو باز ۶
- شکل ۱-۴: انواع جریان های دائمی، یکنواخت و غیر یکنواخت. ۸
- شکل ۱-۵: نواحی مختلف لایه های مرزی، توزیع قائم سرعت لگاریتمی برای ۱۱
یک جداره کanal زبر به همراه معرفی طول اختلاط متلاطم
(Mohammadi, 1998)
- شکل ۱a-۶: توزیع های عمقی سرعت متوسط. ۱۲
- شکل ۱b-۶: توزیع عمقی سرعت در رژیم های آرام، L، و مغشوش، T، ۱۳
(الف) در کanal رو باز ، (ب). در لوله
- شکل ۷ الف-۱: منحنی های هم سرعت، توزیع تنش برشی جداره و الگوی ۱۳
جریان ثانویه در کanal ذوزنقه ای شکل (نایت و همکاران، Knight et al, 1994)
- شکل ۷ ب-۱: منحنی های هم سرعت در یک کanal مستطیلی با کف V ۱۴
- شکل (محمدی، Mohammadi, 1999)
- شکل ۷-۸: جریان روی یک بستر مقعر. ۱۵
- شکل ۷-۹: جریان در مسیر یکنواخت. ۱۶
- شکل ۷-۱۰: جریان بر روی یک جداره مقعر و محدب. ۱۸

عنوان شکل های فصل ۲	شماره	صفحه
شکل (۲-۱) نمودار شماتیک برای به کارگیری معادله پیوستگی جریان.	۲۰	
شکل (۲-۲) نمودار شماتیک کاربرد معادله انرژی در یک مقطع کanal.	۲۲	
شکل (۲-۳) نمودار کاربرد معادله انرژی بین دو مقطع.	۲۵	
شکل (۲-۴) نمایش تعریف ارتفاع کل، H ، و انرژی مخصوص، H_s	۲۸	
شکل (۲-۵) منحنی انرژی مخصوص، $H_s=f(h)$ ، به ازای مقدارهای ثابت دبی $Q=Cte$	۳۰	
شکل (۲-۶) منحنی دبی جریان، $Q=f(h)$ ، برای $H_s=Cte$	۳۱	
شکل (۲-۷) نمودار توزیع تنش برشی، $(z'_{xx})\tau$ ، و توزیع سرعت، $(z'u')$ ، در شرایط جریان غیر یکنواخت.	۴۰	

عنوان شکل های فصل ۳	شماره	صفحه
شکل (۳-۱) جریان یکنواخت میان شرایط مرزی.	۴۳	
شکل (۳-۲) نمودار جریان یکنواخت در کanal ها.	۴۵	
شکل (۳-۳) مقطع کanal با زبری مختلط.	۵۷	

۵۹	شکل (۳-۴) منحنی ظرفیت گذردهی یا عمق نرمال.
۶۰	شکل (۳-۵) مقطع یک کانال عریض.
۶۱	شکل (۳-۶) کانال با مقطع مختلط مرکب.
۶۲	شکل (۳-۷) مقطع های دیگر بیشینه.
۶۴	شکل (۳-۸) سرعت رسوگذاری و فرسایش $U_{de}+U_{cr}$ برای رسوبات با دانه‌بندی یکنواخت به شیوه ژولسترم (<i>Hjulstrom</i>)
۶۸	شکل (۳-۹) تنش برشی بدون بعد، τ^* ، به عنوان تابعی از قطر بدون بعد، d^* به شیوه شیلدز- یالین (<i>Shields-Yalin</i>)
۶۹	شکل (۳-۱۰) توزیع تنش برشی در یک کانال ذوزنقه‌ای.
۷۰	شکل (۳-۱۱) مقطع پایدار ایده‌آل.
۷۲	شکل (۳-۱۲) مقطع پایدار ایده‌آل برای عرض‌های متفاوت کانال.

عنوان شکل‌های فصل ۴	
صفحه	شماره
شکل (۴-۱) نمودار جریان دائمی غیریکنواخت در کانالی با شبکه ثابت، (x).	۹۵
شکل (۴-۲) پروفیل‌های سطح آب برای جریان متغیر تدریجی.	۱۰۷
شکل (۴-۲a) مثال‌هایی از پروفیل‌های جریان.	۱۰۸
شکل (۴-۳) نمودار جریان غیریکنواخت مابین دو مقطع عرضی یک کانال.	۱۱۳
شکل (۴-۴) نمودار محاسباتی پروفیل سطح آب: (a) با روش انتگرال‌گیری مستقیم؛ (b) با روش تقریبات متوالی	۱۱۸
شکل (۴-۵) نمودار یک پرش هیدرولیکی جریان.	۱۲۸
شکل (۴-۶) انواع جهش هیدرولیکی.	۱۳۱
شکل (۴-۷) جانمایی محل وقوع پرش هیدرولیکی.	۱۳۲
شکل (۴-۸) نمودار جریان متغیر تدریجی با دبی جریان ورودی جانمایی، q_1 .	۱۳۴

عنوان شکل‌های فصل ۵	
صفحه	شماره
شکل (۵-۱). نمودار منحنی دانه‌بندی ذرات رسویی	۱۷۶

شماره	عنوان شکل های فصل ۶
صفحه	
۱۷۸	شکل (۵-۲). نمودار ضریب درگ و عدد رینولدز در شرایط رژیم های مختلف جریان
۱۷۸	شکل (۵-۳). توزیع قایم سرعت در رژیم جریان مغشوش (با سرعت نوسانی نقطه‌ای)
۱۸۳	شکل (۵-۴). توزیع سرعت و نیروهای عمل کننده روی ذرات رسوبی
۱۸۷	شکل (۵-۵). نمودار شیلدز (Vanoni, 1975)
۱۸۸	شکل (۵-۶) نمودارهای آستانه حرکت ذرات رسوبی (دبی-شیب طولی) برای مصالح رسوبی شن ($d_{35}=7/22\text{ mm}$) و ماسه ($d_{35}=0.8\text{ mm}$) در یک کanal (Mohammadi & Knight, 1999)
۱۸۹	شکل (۵-۷) نمودارهای دبی-تنش برشی بحرانی، برای آستانه حرکت ذرات رسوبی برای مصالح رسوبی شن ($d_{35}=7/22\text{ mm}$) و ماسه ($d_{35}=0.8\text{ mm}$) در یک کanal مستطیلی با کف V-شکل (Mohammadi, 2005)
۱۹۱	شکل (۵-۸) نمودار شکل‌های (مدھای) مختلف حمل رسوب.
۱۹۴	شکل (۵-۹) نمودار جریان غیردائمی و غیریکنواخت روی یک تراز بستر متحرک $(x,t)_z$.
۱۹۷	شکل (۵-۱۰): نمودارهای فرسایش یا تنهشینی رسوبات .
۱۹۹	شکل (۵-۱۱): فرسایش ناشی از پایین آمدن یک نقطه ثابت، Δh ، در بستر (Graf & Altinakar, 1998)
۲۰۰	شکل (۵-۱۲): رسوب‌گذاری با افزایش بار تأمین Δq_s دبی مواد جامد، (Graf & Altinakar, 1998)
۲۰۷	شکل (۵-۱۳): سرعت تنهشینی، v_{ss} ، تابعی از قطر ذره، d .
۲۰۸	شکل (۵-۱۴) توزیع قائم غلظت نسبی، c_s/c_{sa} ، در حالت تعليق (Graf, 1971)
۲۱۱	شکل (۵-۱۵) انتگرال های به کار رفته در روش اينشتين (Einstein, 1950)
۲۲۵	شکل (۵-۱۶): ضریب های تصحیح: (a) توزیع سرعت، (b) ضریب مخفی، (c) ضریب نیروی بالابرند (Graf, 1971)
۲۲۹	شکل (۵-۱۷): معادله بار بستر، $\Phi_* = f(\Psi_*)$ ، روش اينشتين (Einstein, 1950)
۲۳۹	شکل (۵-۱۸): مقایسه روند موفقیت در برآورد حمل رسوب برای فرمول های موجود، با توجه به نسبت، C_{calc}/C_{obs}

شماره
صفحه

شکل (۶-۶): نمودار مسیر جریان و آبشستگی موضعی در اطراف یک پایه پل میانی استوانه‌ای.

۲۵۴	شکل (۶-۲): نمودار پیشروی عمق آبستگی، d_s ، با توجه به سرعت جریان، U ، و زمان، t (Graf & Altinakar, 1991)
۲۵۹	شکل (۶-۳): تأثیر پارامترهای مختلف (معادله ۶-۵ را ببینید) بر روی عمق آبستگی بی بعد، d_s/D_P ، در یک پایه میانی (Breusers et al., 1977)
۲۶۴	شکل (۶-۴): تأثیر دو پایه میانی روی عمق آبستگی (Raudkivi, 1991)
۲۶۸	شکل (۶-۵): روش های جلوگیری از آبستگی (a) (Raudkivi, 1991) (a) پایه با آستانه انتهائی سنگ چین (b) کف پوش با پی سطحی (c) پایه میانی با حلقه دور پایه
۲۷۰	شکل (۶-۶): نمودار مسیر جریان و آبستگی موضعی در اطراف یک پایه کناری.
۲۷۵	شکل (۶-۷): تأثیر پارامترهای مختلف (معادله ۱۲-۶) روی عمق آبستگی بی بعد، d_s/L_A ، برای یک پایه کناری (Melville, 1992).
۲۷۶	شکل (۶-۸): نمودار معرف برای تنگ شدگی طولانی (Melville, 1992).
۲۸۱	شکل (۶-۹): عمق جریان نسبی، h_2/h_1 ، یا عمق آبستگی، d_s/h_1 ، به عنوان تابعی از تنش برشی نسبی، τ_{02}/τ_{01} ، یا تنش برشی نسبی τ_{cr}/τ_{01} (اگر $B_1/B_2 \equiv \tau_{02} \equiv \tau_{cr}$) برای کاهش های عرض مختلف
۲۸۳	شکل (۶-۱۰): نمودار آبستگی در سازه هیدرولیکی؛ یک دریچه ترکیبی کنترل، جریان از بالا و پایین را از خود عبور می دهد (Raudkivi, 1990).
۲۸۵	شکل (۶-۱۱): نمودار جریان در روی یک سازه (Raudkivi, 1990).
۲۸۸	شکل (۶-۱۲): شکل جریان در زیر یک سازه.

عنوان شکل های فصل ۷	شماره	صفحه
شکل ۷-۱: نشت در حالت پایین بودن تراز آب زیرزمینی	۳۱۶	
شکل ۷-۲: نشت در حالت پایین تر بودن تراز آب زیرزمینی از تراز آب کanal	۳۱۷	
شکل ۷-۳: نشت در حالت بالاتر بودن تراز آب زیرزمینی از تراز آب کanal	۳۱۷	
شکل ۷-۳b: نشت در حالت متفاوت بودن تراز آب زیرزمینی	۳۱۸	
شکل ۷-۴: دیاگرام توزیع سرعت نشت در جداره های کanal	۳۱۸	
شکل ۷-۵: روند محاسبه ای مرحله به مرحله تلفات در یک کanal	۳۱۹	
شکل ۷-۶: نمونه ای از مقطع کanal به صورت کامل در خاکبرداری	۳۲۲	
شکل ۷-۷: نمونه ای از مقطع کanal به صورت کامل در خاکریزی	۳۲۳	
شکل ۷-۸: مقطع کanal به صورت مشترک در خاکبرداری و خاکریزی	۳۲۳	
شکل ۷-۹: نحوه ای نمایش شبیه جانبی کanal	۳۲۴	
شکل ۷-۱۰: انواع مقاطع ساده کanal ها	۳۳۰	

- شکل ۷-۱۱: نمودار تجربی رابطه‌ی دبی با عرض کف کanal (USBR, 1987 و Chow, 1959)
- شکل ۷-۱۲: توزیع تنش برشی در جداره‌ی یک کanal ذوزنقه‌ای (Akan, 2006)
- شکل ۷-۱۳: مقدار ضریب K برای $1 < \frac{b}{y} < 6$ (Akan, 2006)
- شکل ۷-۱۴: زاویه ایستایی خاک در خاک‌های غیر چسبنده (Simon & Albertson, 1960)
- شکل ۷-۱۵: تنش برشی مجاز در خاک‌های چسبنده بر اساس نسبت تخلخل (Chow, 1959)
- شکل ۷-۱۶: تنش برشی مجاز در خاک‌های چسبنده با شاخص خمیری (Chen & Cotton, 1988)
- شکل ۷-۱۷: تنش برشی مجاز در خاک‌های غیرچسبنده با قطر متوسط (Chen & Cotton, 1988)
- شکل ۷-۱۸: نمودار محاسبه‌ی ارتفاع آزاد بر حسب دبی کanal (Chow, 1959)
- شکل ۷-۱۹: طول حفاظت پایین دست خم (Akan, 2006)
- شکل ۷-۲۰: ضریب محاسبه تنش افزوده در خم (Chen & Cotton, 1988)
- شکل ۷-۲۱: مصالح ژئوممبراین
- شکل ۷-۲۲: مصالح ژئوتکسایل
- شکل ۷-۲۳: کanal پوشش شده توسط ژئوممبراین
- شکل ۷-۲۴: کanal پوشش شده توسط ژئوممبراین
- شکل ۷-۲۵: مقطع اولیه‌ی کanal و شابلون گذاری
- شکل ۷-۲۶: اجرای مصالح فیلتر
- شکل ۷-۲۷: اجرای پوشش بتنی
- شکل ۷-۲۸: پانل‌های اصلی اجراشده‌ی بتنی
- شکل ۷-۲۹: پانل‌های اصلی اجراشده‌ی بتنی
- شکل ۷-۳۰: درزگیری پوشش کanal با مصالح قیری (ماستیک)
- شکل ۷-۳۱: نمایی از یک پوشش بتنی آماده‌شده

عنوان شکل های فصل ۸

عنوان شکل های فصل ۸	صفحه	شماره
شکل ۱-۸: نمایی از تبدیل (ترانزیشن) در مسیر کanal	۳۹۷	
شکل ۲-۸: ضرایب افت انژی در تبدیل ها	۳۹۸	
شکل ۳-۸: شکل سه بعدی از نیمه یک تبدیل سه‌مومی	۳۹۹	
شکل ۴-۸: شکل سه بعدی از نیمه یک تبدیل ربع دایره	۴۰۰	
شکل ۵-۸: شکل سه بعدی از نیمه یک تبدیل خطی ساده	۴۰۰	
شکل ۶-۸: پروفیل طولی سطح آب	۴۰۱	
شکل ۷-۸: نمای شماتیک یک تبدیل منحنی و پارامترهای محاسباتی آن	۴۰۶	

عنوان شکل های فصل ۹

عنوان شکل های فصل ۹	صفحه	شماره
شکل ۱-۹: انتخاب حوضچه آرامش بر اساس دبی در واحد عرض و ارتفاع دراپ (USBR, 1987)	۴۲۰	
شکل ۲-۹: نمایی از یک دراپ مایل	۴۲۱	
شکل ۳-۹: نمایی از یک دراپ پلکانی	۴۲۲	
شکل ۴-۹: شکل شماتیک یک دراپ پلکانی	۴۲۳	
شکل ۵-۹: جزئیات جریان در یک دراپ آزاد	۴۲۴	
شکل ۶-۹: دراپ قایم به همراه آبراهه ماهی	۴۲۶	
شکل ۷-۹: دراپ قایم با پله	۴۲۷	
شکل ۸-۹: دراپ قایم مستغرق	۴۲۸	
شکل ۹-۹: دراپ قایم با کنترل از بالادست	۴۲۹	
شکل ۱۰-۹: دراپ مایل	۴۳۱	
شکل ۱۱-۹: دراپ شیبدار با بلوكهای ضربه‌گیر	۴۳۴	
شکل ۱۲-۹: برش طولی دراپ شیبدار با بلوكهای ضربه‌گیر	۴۳۴	
شکل ۱۳-۹: شکل استاندارد دراپ شیبدار با بلوكهای ضربه‌گیر (USBR, 1987).	۴۳۶	
شکل ۱۴-۹: سیستم کنترل و لوله ورودی در دراپ لوله‌ای (USBR, 1987).	۴۳۹	

عنوان شکل های فصل ۱۰

شماره	عنوان شکل های فصل ۱۰
صفحه	
۴۴۷	شکل ۱۰-۱: شکل شماتیک یک سیفون معکوس
۴۵۰	شکل ۱۰-۲: چگونگی کنترل شیب ورودی برای جریان آزاد در ورودی سیفون
۴۵۳	شکل ۱۰-۳: نمایی از ورودی یک سیفون
۴۵۶	شکل ۱۰-۴: پارامترهای لازم برای محاسبه ضریب افت انرژی در خمیدگی
۴۵۶	شکل ۱۰-۵: گراف محاسبه ضریب افت انرژی در خمیدگی با توجه به زاویه‌ی خمیدگی
۴۶۱	شکل ۱۰-۶: پلان و برش طولی یک سیفون وارونه

عنوان شکل های فصل ۱۱

شماره	عنوان شکل های فصل ۱۱
صفحه	
۴۷۲	شکل ۱۱-۱: نمونه‌ای از کالورت با مقطع دایره‌ای
۴۷۲	شکل ۱۱-۲: نمونه‌ای از کالورت با مقطع مستطیلی
۴۷۳	شکل ۱۱-۳: نمونه‌ای از کالورت با مقطع خاص (نعل اسی)
۴۷۵	شکل ۱۱-۴: نمونه‌ای از تبدیلهای ورودی ساده لوله‌ای
۴۷۵	شکل ۱۱-۵: نمونه‌ای از تبدیلهای ورودی ساده لوله‌ای مورب
۴۷۶	شکل ۱۱-۶: نمونه‌ای از دهانه‌های ورودی دیواره دار
۴۷۷	شکل ۱۱-۷: نمونه‌ای از دهانه‌های ورودی دیواره دار با دیواره‌های برگشتی
۴۷۸	شکل ۱۱-۸: نمونه‌ای از دهانه‌های ورودی دیواره دار با دیواره‌های برگشتی
۴۷۹	شکل ۱۱-۹: نمونه‌ای از دهانه‌های ورودی دیواره دار ارتقا داده شده
۴۸۱	شکل ۱۱-۱۰: موقعیت‌یابی مسیر کالورت
۴۸۲	شکل ۱۱-۱۱: فلوچارت روند طراحی کالورت
۴۸۴	شکل ۱۱-۱۲: خط تراز انرژی و خط تراز هیدرولیکی
۴۸۷	شکل ۱۱-۱۳: انواع کنترل ورودی در کالورتها
۴۸۸	شکل ۱۱-۱۴: اثر شرایط لبه ورودی بر فشردگی جریان
۴۸۹	شکل ۱۱-۱۵: تبدیل ورودی با پایین آمدگی و دیوارهای برگشتی
۴۹۰	شکل ۱۱-۱۶: تبدیل ورودی با پایین آمدگی و بدون دیوارهای برگشتی
۴۹۴	شکل ۱۱-۱۷: انواع کنترل خروجی در کالورتها
۴۹۸	شکل ۱۱-۱۸: چارت ظرفیت برای لوله کاروگیت فلزی استاندارد با قطر ۱۸ الی ۳۶ اینچ با دیوار پیشانی (FHWA 1965; UDFCD 2001)

- شکل ۱۱-۱۹: چارت ظرفیت برای لوله کاروگیت فلزی استاندارد با قطر ۳۶
الی ۶۶ اینچ با دیوار پیشانی (FHWA 1965; UDFCD 2001)
- شکل ۱۱-۲۰: چارت ظرفیت برای لوله کاروگیت فلزی استاندارد با قطر ۱۸
الی ۳۶ اینچ با بیرون زدگی (FHWA 1965; UDFCD 2001)
- شکل ۱۱-۲۱: چارت ظرفیت برای لوله کاروگیت فلزی استاندارد با قطر ۳۶
الی ۶۶ اینچ با بیرون زدگی (FHWA 1965; UDFCD 2001)
- شکل ۱۱-۲۲: چارت ظرفیت برای لوله بتنی با قطر ۱۸ الی ۶۶ اینچ و لبه
قایم (FHWA 1965; UDFCD 2001)
- شکل ۱۱-۲۳: چارت ظرفیت برای لوله بتنی با قطر ۶۰ الی ۱۸۰ اینچ و لبه
قایم (FHWA 1965; UDFCD 2001)
- شکل ۱۱-۲۴: چارت ظرفیت برای لوله بتنی لبه دار با قطر ۱۸ الی ۶۶ اینچ
(FHWA 1965; UDFCD 2001)
- شکل ۱۱-۲۵: چارت ظرفیت برای لوله بتنی لبه دار با قطر ۶۰ الی ۱۸۰ اینچ
(FHWA 1965; UDFCD 2001)
- شکل ۱۱-۲۶: نمودار کنترل در ورودی جهت تعیین عمق سراب در کالورت
باکس
- شکل ۱۱-۲۷: نمودار کنترل در ورودی جهت تعیین عمق سراب در کالورت
لوله‌ای بتنی
- شکل ۱۱-۲۸: نمودار کنترل در ورودی جهت تعیین عمق سراب در کالورت
لوله‌ای کاروگیت فلزی
- شکل ۱۱-۲۹: نمودار کنترل در خروجی جهت تعیین ارتفاع H در کالورت
لوله‌ای بتنی با مقطع پر و ضریب زبری $n=0.012$
- شکل ۱۱-۳۰: نمودار کنترل در خروجی جهت تعیین ارتفاع H در کالورت
لوله‌ای کاروگیت استاندارد با مقطع پر و ضریب زبری $n=0.024$
- شکل ۱۱-۳۱: نمودار کنترل در خروجی جهت تعیین ارتفاع H در کالورت
لوله‌ای کاروگیت با ورق سازه‌ای با مقطع پر و ضریب زبری $n=0.0302$ الی
 $n=0.0328$
- شکل ۱۱-۳۲: نمودار کنترل در خروجی جهت تعیین ارتفاع H در کالورت
باکس بتنی با مقطع پر و ضریب زبری $n=0.012$

عنوان شکل های فصل ۱۲	شماره	صفحه
شکل ۱۲-۱: روگذر نیمکتی		۵۲۶
شکل ۱۲-۲: روگذر پایهدار		۵۲۷
شکل ۱۲-۳: دو طرح متفاوت روگذر نیمکتی		۵۳۰
شکل ۱۲-۴: دو طرح روگذر پایهدار بتنی بدون سقف و دارای سقف		۵۳۴
شکل ۱۲-۵: روگذر پایهدار ناو شکل		۵۳۵
شکل ۱۲-۶: روگذرها پایهدار لوله‌ای		۵۳۶
شکل ۱۲-۷: روگذرها پایهدار ناو شکل		۵۳۷
شکل ۱۲-۸: سرریز جانبی در یک کانال در شبکه آبیاری و زهکشی دشت نازک - آذربایجان غربی		۵۳۹
شکل ۱۲-۹: سرریز جانبی در ورودی یک سیفون معکوس، شبکه پایین دست سد آغ چای - خوی		۵۳۹
شکل ۱۲-۱۰: تنظیم سطح آب توسط مخزن جانبی		۵۴۱
شکل ۱۲-۱۱: تنظیم سطح آب توسط مخزن جانبی		۵۴۲
شکل ۱۲-۱۲: تنظیم سطح آب توسط مخزن جانبی		۵۴۲

عنوان شکل های فصل ۱۳	شماره	صفحه
شکل ۱۳-۱: سرریز آجی		۵۴۸
شکل ۱۳-۲: سرریز تند آب		۵۴۹
شکل ۱۳-۳: سرریز سیفونی		۵۵۰
شکل ۱۳-۴: سرریز نیلوفری		۵۵۱
شکل ۱۳-۵: سرریز جانبی		۵۵۲
شکل ۱۳-۶: سرریز پلکانی		۵۵۳
شکل ۱۳-۷: شمای یک دریچه‌ی فیوزگیت		۵۵۴
شکل ۱۳-۸: نحوه‌ی عبور جریان از روی سرریز آجی		۵۵۵
شکل ۱۳-۹: شکل عبور جریان از روی سرریز با آستانه‌ی لبه‌تیز		۵۵۷
شکل ۱۳-۱۰: پارامترهای محاسباتی منحنی سرریز		۵۶۰
شکل ۱۳-۱۱: نمودار محاسبه ضریب n و K بر حسب شیب و ارتفاع آب بالا درست سرریز (USBR, 1987)		۵۶۳

۵۶۵	شکل ۱۳-۱۲: پارامترهای شعاع و مختصات شروع قوس تاج بر حسب ارتفاع آب در بالادست و شیب بالادست (USBR, 1987)
۵۶۶	شکل ۱۳-۱۳: ضریب دبی برای سرریز آجی با دیواره‌ی بالادست قائم (USBR, 1987)
۵۶۶	شکل ۱۳-۱۴: ضریب دبی برای هد بیش از هد طراحی در سرریز آجی با دیواره‌ی قائم (USBR, 1987)
۵۶۷	شکل ۱۳-۱۵: ضریب دبی در سرریز آجی با دیواره‌ی بالادست شیبدار (USBR, 1987)
۵۶۹	شکل ۱۳-۱۶: نحوه کاهش یا افزایش عرض در تنداپ
۵۷۰	شکل ۱۳-۱۷: شیوه نادرست تغییر عرض در تنداپ
۵۷۲	شکل ۱۳-۱۸: پارامترهای منحنی سرریز <i>WES</i>
۵۷۴	شکل ۱۳-۱۹: چند نمونه از سرریز استاندارد <i>WES</i>
۵۷۵	شکل ۱۳-۲۰: ضریب دبی جریان در سرریز استاندارد
۵۷۶	شکل ۱۳-۲۱: ضریب دبی جریان در سرریز استاندارد با ضریب تصحیح ناشی از شیب
۵۷۸	شکل ۱۳-۲۲: اثر عمق آب و رقوم پایاب بر ضریب دبی
۵۸۰	شکل ۱۳-۲۳: ضرایب فشرده‌ی برای پایه‌های پل و دماغه‌ی سواحل
۵۸۱	شکل ۱۳-۲۴: طراحی بدن سرریز استاندارد
۵۸۳	شکل ۱۳-۲۵: نیمرخ طولی سرریز در تنداپ

عنوان شکل‌های فصل ۱۴	شماره	صفحه
شکل ۱۴-۱: پارامترهای پرش هیدرولیکی	۵۹۲	
شکل ۱۴-۲: عمق پایین‌دست در یک پرش هیدرولیکی از زیر دریچه	۵۹۵	
شکل ۱۴-۳: طول یک پرش هیدرولیکی در پای یک شوت	۵۹۶	
شکل ۱۴-۴: اثر وجود پله منفی در مسیر پرش	۵۹۶	
شکل ۱۴-۵: اثر وجود پله مثبت در مسیر پرش	۵۹۷	
شکل ۱۴-۶: اثر پایین‌افتادگی در مسیر پرش	۵۹۷	
شکل ۱۴-۷: نمودار بدون بعد جهت محاسبه طول پرش بر حسب عدد فرود و عمق اولیه‌ی پرش در حوضچه‌ی آرامش USBR تیپ I (USBR, 1983)	۵۹۹	
شکل ۱۴-۸: نمودار بدون بعد عمق جریان پایین‌دست با توجه به عدد فرود در حوضچه‌ی آرامش USBR تیپ I (USBR, 1983)	۶۰۰	

- شکل ۱۴-۹: نمودار بدون بعد طول پرش بر حسب عدد فرود و عمق ثانویه‌ی پرش در حوضچه‌ی آرامش USBR تیپ I (USBR, 1983)
- شکل ۱۴-۱۰: نمودار بدون بعد افت انرژی در طول پرش بر حسب عدد فرود (USBR, 1983)
- شکل ۱۴-۱۱: حوضچه‌ی آرامش تیپ II و ابعاد بلوک‌ها با توجه به عمق اولیه و ثانویه‌ی پرش هیدرولیکی (Wei & Lindell, 2004)
- شکل ۱۴-۱۲: نمودار حوضچه‌ی تیپ II جهت تقریب پروفیل سطح آب (USBR, 1983)
- شکل ۱۴-۱۳: نمودار طول حوضچه با استفاده از عدد فرود در حوضچه‌ی تیپ I، II و III (USBR, 1983)
- شکل ۱۴-۱۴: نمودار حوضچه‌ی تیپ II برای محاسبه‌ی عمق ثانویه بر حسب عدد فرود یا عمق جریان پایین دست (USBR, 1983)
- شکل ۱۴-۱۵: حوضچه‌ی آرامش تیپ III و ابعاد ضربه‌گیرها بر حسب عمق اولیه‌ی پرش (FHWA, 2006)
- شکل ۱۴-۱۶: نمودار تعیین اندازه‌ی h_3 و h_4 در حوضچه‌ی آرامش تیپ III (Wei & Lindell, 2004)
- شکل ۱۴-۱۷: نمودار تعیین پروفیل سطح آب به صورت تقریبی در حوضچه‌ی آرامش تیپ III (USBR, 1983)
- شکل ۱۴-۱۸: حوضچه‌ی آرامش تیپ IV و نحوه قرارگیری بلوک‌ها (USBR, 1983)
- شکل ۱۴-۱۹: سازه‌ی موج گیر (Wei & Lindell, 2004)
- شکل ۱۴-۲۰: سازه‌ی موج گیر (Wei & Lindell, 2004)
- شکل ۱۴-۲۱: سازه‌ی موج گیر (Wei & Lindell, 2004)
- شکل ۱۴-۲۲: پرش‌های آزمایش شده جهت طراحی حوضچه‌ی آرامش تیپ V (Wei & Lindell, 2004)
- شکل ۱۴-۲۳: فاکتور شکل (K) در رابطه‌ی پرش هیدرولیکی حوضچه‌ی آرامش تیپ V (USBR, 1983)
- شکل ۱۴-۲۴: عمق آب پایین دست بر حسب عمق اولیه‌ی پرش در حوضچه‌ی تیپ V (USBR, 1983)
- شکل ۱۴-۲۵: عمق آب پایین دست بر حسب عمق ثانویه‌ی پرش در حوضچه‌ی تیپ V (USBR, 1983)

۶۱۸	شکل ۱۴-۲۶: نمودار تعیین طول پرش بر حسب عمق آب پایین دست در حوضچه تیپ V (USBR, 1983)
۶۱۸	شکل ۱۴-۲۷: نمودار تعیین طول پرش بر حسب عمق ثانویه‌ی پرش در حوضچه تیپ V (Wei & Lindell, 2004)
۶۲۰	شکل ۱۴-۲۸: نمای کلی حوضچه‌ی آرامش تیپ VI (USBR, 1983)
۶۲۱	شکل ۱۴-۲۹: نحوه‌ی تعیین ابعاد حوضچه‌ی آرامش تیپ VI (USBR, 1983)
۶۲۳	شکل ۱۴-۳۰: حوضچه‌ی آرامش SAF (نشریه شماره ۳۰۳ الف)
۶۲۵	شکل ۱۴-۳۱: جریان از روی سازه‌ی جامی شکل
۶۲۶	شکل ۱۴-۳۲: شکل کلی یک باکت جامی دندانه دار
۶۳۰	شکل ۱۴-۳۳: باکت‌های ساده و دندانه‌دار و جریان عبوری از آنها
۶۳۲	شکل ۱۴-۳۴: نمودار کمترین شعاع مجاز باکت (USBR, 1983)
۶۳۳	شکل ۱۴-۳۵: نمودار تعیین بیشینه و کمینه عمق پایین دست (USBR, 1983)
۶۳۴	شکل ۱۴-۳۶: منحنی جریان ورودی در شیب‌های تند (USBR, 1983)
۶۳۵	شکل ۱۴-۳۷: جریان از روی باکت بلوك‌دار مستغرق (USBR, 1983)

عنوان شکل‌های فصل ۱۵	شماره	صفحه
شکل ۱۵-۱: مقطع عرضی و پلان یک کanal مرکب طبیعی با دشت‌های سیلابی	۶۴۹	
شکل ۱۵-۲: نمایش پارامترها و عوامل موثر در یک کanal مرکب	۶۵۰	
شکل ۱۵-۳: آشفتگی جریان و تنش برشی شدید در ناحیه اتصال کanal اصلی به دشت‌سیلابی در یک کanal مرکب آزمایشگاهی (ون پرویجن و همکاران، ۲۰۰۵)	۶۵۱	
شکل ۱۵-۴: تقسیم بندی نواحی در یک مقطع کanal مرکب به روش هنگ مهندسین ارتش امریکا (US Army Corps of Engineers) برای نرم افزار HEC-RAS	۶۵۳	
شکل ۱۵-۵: برخی مقاطع مختلف کاربردی برای کanal‌های مرکب	۶۵۴	
شکل ۱۵-۶: نمایش روش‌های خطوط تقسیم در مقطع کanal مرکب	۶۵۶	
شکل ۱۵-۷: کanal مرکب غیر منشوری با سیلاب دشت همگرا	۶۵۷	
شکل ۱۵-۸: ویژگی‌ها و مؤلفه‌های جریان در یک کanal طبیعی (یا رودخانه).	۶۵۸	

- شکل ۱۵-۹: نمودار دبی-اشنل ویژه برای جریان فراتر از کanal اصلی. (a) آزمایشگاهی، (b) میدانی (Knight & Dimitriou 1983)
- شکل ۱۵-۱۰: منحنی های از نوع سرعت دبی-موج سینماتیک و دبی-میرابی جریان.
- شکل ۱۵-۱۱: نمونه منحنی دبی-سرعت برای رودخانه Wye در بازه (Nerc, 1975) Belmont Erwood
- شکل ۱۵-۱۲: رابطه عرض معادل برای کمینه انرژی جریان و نرخ انتقال رسوب بیشینه وايت و همکاران (White et al., 1982)
- شکل ۱۵-۱۳: انتقال رسوب در یک رودخانه فرضی دارای ماسه ۰/۲۵ میلی-متری (Ackers, 1992)
- شکل ۱۴-۱۵a: پارامترهای هیدرولیکی همراه جریان فراتر از کanal اصلی (Shiono & Knight, 1991)
- شکل ۱۴-۱۵b: ساختار گرداب در جریان فراتر از کanal اصلی در مقیاس بزرگ (Fukuoka & Fujita, 1989)
- شکل ۱۵-۱۵: توزیع عرضی تنش برشی جداره حاصل از آزمایش FCF 080501
- شکل ۱۵-۱۶: توزیع های تنش برشی جداره بی بعد حاصل از آزمایش Serries 8)
- شکل ۱۵-۱۷: روش های تقسیم‌بندی سطح مقطع رودخانه برای محاسبه دبی جریان.
- شکل ۱۵-۱۸: تغییرات ضریب زبری n مانینگ برای جریان فراتر از کanal اصلی در رودخانه Montford انگلستان (Knight et al., 1989)
- شکل ۱۵-۱۹: ضرایب تنظیم دبی (DISADF) برای آزمایشات FCF (Ackers, 1993a)
- شکل ۱۵-۲۰: مثال واسنجی مدل دو بعدی از آزمایشات (FCF 020501)
- شکل ۱۵-۲۱: مثال واسنجی مدل دو بعدی از آزمایشات (FCF 060501)
- شکل ۱۵-۲۲: مثال واسنجی مدل دو بعدی از آزمایشات (FCF 020501)
- شکل ۱۵-۲۳: مثال دیگر از واسنجی مدل دو بعدی از آزمایشات (FCF 020501)
- شکل ۱۵-۲۴: تغییرات عرضی تنش برشی رینولدز در نزدیکی ناحیه اندرکنش کanal اصلی و بستر سیلابی (FCF, 020301 & 020501)
- شکل ۱۵-۲۵: ساختار جریان در مقطع کanal مرکب پیچان
- شکل ۱۵-۲۶: مدل آزمایشگاهی کanal مرکب پیچان آزمایشگاه-FCF Wallingford
- شکل ۱۵-۲۷: بردارهای جریان ثانویه در ابتدای پیچ کanal با خم ۱۱۰ درجه با مقطع عرضی طبیعی (جریان در درون کanal اصلی و فراتر از آن در مطالعات FCF

۷۰۱	شکل ۱۵-۲۸: بردارهای جریان ثانویه در ابتدای پیچ دو کanal با خم ۶۰ درجه با مقطع عرضی ذوزنقه و نسبت‌های متفاوت جریان (درون کanal اصلی و فراتر از آن در مطالعات Bradford و FCF)
۷۰۲	شکل ۱۵-۲۹: متوسط سرعت‌های عمقی در دو لایه اطراف خم ۶۰ درجه برای جریان فراتر از کanal اصلی با $(H-h)/H=0.25$
۷۰۳	شکل ۱۵-۳۰: بردارهای جریان ثانویه اطراف خم ۶۰ درجه برای جریان فراتر از کanal اصلی با $(H-h)/H=0.25$
۷۰۴	شکل ۱۵-۳۱: بردارهای سرعت برای جریان کanal اصلی پر در یک کanal پیچان ذوزنقه‌ای.
۷۰۶	شکل ۱۵-۳۲: بردارهای سرعت برای جریان فراتر از کanal اصلی در یک کanal خم دار ذوزنقه‌ای و با بستر سیلابی مستقیم با $(H-h)/H=0.25$
۷۰۷	شکل ۱۵-۳۳: بردارهای سرعت برای جریان فراتر از کanal اصلی در یک کanal خم دار مستطیلی و با بستر سیلابی غیرمستقیم با $(H-h)/H=0.25$
۷۰۷	شکل ۱۵-۳۴: بردارهای سرعت برای جریان فراتر از کanal اصلی در یک کanal خم دار مستطیلی و با بستر سیلابی غیرمستقیم (الخم دار با $(H-h)/H=0.50$)

عنوان شکل‌های فصل ۱۶	شماره	صفحه
شکل ۱۶-۱: تقسیم‌بندی پمپ‌ها		۷۱۳
شکل ۱۶-۲: انواع پمپ‌های با جابجایی مثبت		۷۱۴
شکل ۱۶-۳: (الف) توربopoمپ چندمرحله‌ای، (ب) توربopoمپ تکمرحله‌ای		۷۱۶
شکل ۱۶ a-۴: شکل چرخ انواع پمپ‌ها		۷۱۶
شکل ۱۶ b-۴: اجزای مختلف پمپ گریز از مرکز		۷۱۷
شکل ۱۶-۵: انتخاب تقریبی نوع پمپ بر اساس دبی و هد موردنیاز (Karassik, 2001)		۷۱۷
شکل ۱۶-۶: جریان در یک دستگاه پمپ		۷۱۸
شکل ۱۶-۷: جریان در یک دستگاه پمپ		۷۲۰
شکل ۱۶-۸: شکل کلی منحنی مشخصه پمپ در برابر منحنی NPSH		۷۲۱
شکل ۱۶-۹: یک نمونه از منحنی مشخصه برای راندمان، هد و توان پمپ		۷۲۳
شکل ۱۶-۱۰: منحنی مشخصه برای سرعت‌های دوران مختلف پمپ (نوربخش ۱۳۸۱)		۷۲۵
شکل ۱۶-۱۱: منحنی مشخصه برای قطر پره‌های متفاوت (نوربخش ۱۳۸۱)		۷۲۶
شکل ۱۶-۱۲: شکل ساده‌ای از نحوه نصب یک دستگاه پمپ بین دو مخزن در ارتفاع‌های مختلف.		۷۲۷

۷۲۸	شکل ۱۶-۱۳: تلاقی منحنی سیستم و منحنی مشخصه‌ی پمپ در نقطه‌ی کار پمپ
۷۳۲	شکل مثال a ۱۶-۱: نمودار همپوشانی پمپ‌های فشارقوی، ۱۴۵۰ دور بر دقیقه، پمپ WKL ۶۵/۵
۷۳۳	شکل مثال b ۱۶-۱: نمودار همپوشانی پمپ‌های فشارقوی، ۲۹۰۰ دور بر دقیقه، پمپ WKL ۵۰/۲
۷۳۴	شکل مثال c ۱۶-۱: نمودار پمپ فشارقوی ۶۵، WKL ۱۴۵۰، دور بر دقیقه
۷۳۶	شکل ۱۶-۱۴: (الف) نحوه اتصال پمپ‌ها به صورت موازی، (ب) منحنی مشخصه پمپ و سیستم در حالت پمپ‌های موازی
۷۳۸	شکل ۱۶-۱۵: (الف) نحوه اتصال پمپ‌ها به صورت سری، (ب) منحنی مشخصه پمپ و سیستم در حالت پمپ‌های سری
۷۴۱	شکل ۱۶-۱۶: توربین ضربه‌ای (پلتون)
۷۴۱	شکل ۱۶-۱۷: نحوه تلاقی دو نیم‌کره در چرخ پلتون
۷۴۱	شکل ۱۶-۱۸: نحوه ساخت توربین ضربه‌ای تورگو
۷۴۲	شکل ۱۶-۱۹: عملکرد توربین جریان مقاطع
۷۴۳	شکل ۱۶-۲۰: توربین واکنشی
۷۴۴	شکل ۱۶-۲۱: توربین فرانسیس (توربین واکنشی جریان مخلوط)
۷۴۴	شکل ۱۶-۲۲: توربین دریاز (توربین واکنشی جریان مخلوط)
۷۴۵	شکل ۱۶-۲۳: توربین کاپلان (توربین واکنشی جریان محوری)
۷۴۷	شکل ۱۶-۲۴: یک نمونه از دیاگرام انتخاب اولیه‌ی توربین‌های استاندارد
۷۴۸	شکل ۱۶-۲۵: منحنی یک نمونه از توربین
۷۵۱	شکل ۱۶-۲۶: ترکیدگی یک شیر یک‌طرفه در اثر ضربه‌ی قوچ
۷۵۲	شکل ۱۶-۲۷: خوردگی در پره‌ی یک پمپ در اثر کاویتاسیون
۷۵۴	شکل ۱۶-۲۸: نحوه کارکرد دستگاه پاک‌کننده‌ی اولتراسونیک قوی برای صنعت سیم و کابل با اثر کاویتاسیون
۷۵۶	شکل ۱۶-۲۹: مخزن ضربه‌گیر یک‌طرفه
۷۵۷	شکل ۱۶-۳۰: مخزن ضربه‌گیر تحت‌فشار
۷۵۸	شکل ۱۶-۳۱: لوله کنارگذر به همراه شیر یک‌طرفه
۷۵۹	شکل ۱۶-۳۲: لوله قایم در مسیر یک خط لوله

لیست جدول‌ها (ب).

۵۰	جدول (۳-۱): زبری معادل برای لوله‌های صنعتی.
۵۴	جدول (۳-۲): نمودار ضرایب زبری مانینگ-استریکلر و کوتر (<i>Graf & Altinakar</i> , 1991)
۱۷۵	جدول (۱-۵): طبقه‌بندی جریان‌های یک مخلوط.
۲۳۴	جدول (۵-۲): مقادیر ضرایب کاربردی در رابطه بار کل رسوبی (آکرز و وايت، ۱۹۷۳)
۲۳۷	جدول (۵-۵): پارامترهای به کار رفته برای به دست آوردن فرمول‌های مختلف
۲۱۹	جدول ۱-۷: میزان اتلاف نشت بر اساس نوع خاک بستر (حیدریزاده، ۱۳۶۹)
۳۲۵	جدول ۷-۲: مشخصات و عناصر هندسی مقاطع مختلف کanal‌ها (محمدی و بشارت، ۱۳۹۵).
۳۲۶	جدول ۷-۳: مقادیر شیب جانبی (m) با توجه به جنس بستر
۳۲۸	جدول ۷-۴: حداقل سرعت جریان در کanal‌ها (متر بر ثانیه) (نشریه ۱۰۴، وزارت نیرو)
۳۳۳	جدول ۷-۵: ضریب زبری مانینگ (n) (نشریه ۱۰۴ ضوابط و معیارهای فنی شبکه‌های آبیاری و زهکشی)
۳۳۸	جدول ۷-۶: مقادیر دبی بر حسب عمق آب در کanal (USBR, 1974)
۳۴۱	جدول ۷-۷: مشخصات مقاطع بر اساس بهترین مقطع هیدرولیکی
۳۴۳	جدول ۷-۸: بیشترین سرعت مجاز در کanal‌های بدون پوشش (برگرفته از US Army Corps of Engineers, 1991)
۳۵۴	جدول ۷-۹: ضریب کاهش بر اساس شکل کanal‌ها در پلان
۳۹۹	جدول ۱-۸: ضرایب افت انرژی در تبدیل‌ها
۴۴۹	جدول ۱۰-۱: مقدار پوشش خاکریز روی بدنی اصلی سیفون
۴۵۷	جدول ۱۰-۲: تخمین سرعت در سیفون
۴۸۵	جدول ۱۱-۱: پارامترهای اثرگذار بر جریان در دو حالت کنترل در ورودی و خروجی
۴۹۱	جدول ۱۱-۲: ضریب افت ورودی کالورتها (Normann, 1985)
۵۷۳	جدول ۱۳-۱: پارامترهای منحنی سرریز <i>WES</i> بر اساس پیشنهاد US Army, 1991
۵۸۳	جدول ۱۳-۲: منحنی‌های پیشنهادشده توسط <i>WES</i> برای پایین‌دست تاج سرریز در تندابها
۵۸۴	جدول ۱۳-۳: مختصات نقاط منحنی بالادست تاج سرریز کوتاه <i>WES</i>
۵۹۸	جدول ۱۴-۱: انواع حوضچه‌های آرامش <i>USBR</i>

جدول ۱۴-۲: عمق آب در حوضچه‌ی SAF و عدد فرود (نشریه شماره ۳۰۳)
۶۲۲ (الف)

جدول ۱۶-۱: دامنه‌ی کاربرد توربین‌های مختلف
۷۴۶
۷۵۳ جدول ۱۶-۲: فشار بخار در دماهای مختلف

بخش اول:

مبانی هیدرولیک جریان در کانال‌ها

شامل:

- مقدمه‌ای بر هیدرولیک جریان در کانال‌ها
- معادلات هیدرودینامیک جریان در کانال‌ها
- جریان یکنواخت در کانال‌های روباز
- جریان غیریکنواخت در کانال‌های روباز
- هیدرولیک کانال‌های رسوبی

▪ آبشنستگی موضعی در کانال‌ها و رودخانه‌ها

بخش دوّم

اصول طراحی و اجرای کانال‌ها، سازه‌ها و تأسیسات و ابستة

شامل:

- مقدمه‌ای بر نکات اجرایی در طراحی و احداث کانال‌ها
- تبدیل‌ها یا ترانزیشن‌ها
- آبشارها یا دراپ‌ها
- سازه‌های تحت فشار و نیمه تحت فشار در مسیر کانال‌ها، شامل:
 - الف- سیفون معکوس
 - ب- زیرگذرها یا کالورت‌ها
 - ج- روگذرها یا فلوم‌ها
- سرریزها، آببندها و دریچه‌ها
- حوضچه‌های آرامش و سازه‌های انرژی‌گیر

بخش سوم

- هیدرولیک کانال‌های مرکب
- شامل:
- کانال‌های رودخانه‌ای با دشت‌های سیلابی

بخش چهارم

- ماشین‌های آبی
- شامل:
- پمپ‌ها
- توربین‌ها
- ایستگاه‌های پمپاژ و توربین
- پدیده ضربه قوچ

۱

مقدمه‌ای بر هیدرولیک جریان در کانال‌های رو باز

An Introduction to the Flow Hydraulics in Open
Channels

۱-۱ مقدمه

در جریان‌های با سطح آزاد، به دلیل در تماس بودن سطح جریان با هوا، فشار درون سیال فقط ناشی از فشار اتمسفر و وزن سیال است و هیچ‌گونه فشار دیگری وجود ندارد. با توجه به وجود سطح آزاد، این‌گونه جریان‌ها فقط در اثر نیروی ثقل از تراز بالاتر به تراز پایین‌تر به وجود می‌آیند و سرعت جریان تابعی از مشخصات هندسی مقطع، زبری جدار و شیب کف کanal است.

مطالعه‌ی جریان‌های با سطح آزاد، اغلب تحت عنوان هیدرولیک جریان در کanal‌ها صورت می‌گیرد. کanal‌ها برای منظورها و اهداف گوناگون از جمله انتقال آب، آبرسانی شهری، جمع‌آوری و دفع فاضلاب، آبیاری و زهکشی و موارد دیگر قابل استفاده می‌باشند. طرح کanal با توجه به اهداف ذکر شده ممکن است با روش‌های مختلفی انجام گیرد. در این فصل به‌طور کلی به برخی جزئیات طراحی و اجرای کanal‌ها پرداخته می‌شود.

۲-۱ کanal‌ها

کanal یک سیستم انتقال آب است که در آن جریان برقرار شده و سطح آزاد آن درمعرض فشار اتمسفر قرار دارد. مطالعه هیدرولیک جریان در کanal‌ها اغلب این سؤال مهم را برای مهندسین پیش می‌آورد: چه شکل و ابعاد هندسی برای کanalی در یک شیب بستر طولی داده شده با میزان مشخص دبی جریان عبوری، باید تعیین شود؟

۲-۱-۱ انواع کanal‌ها

کanal‌ها در حالت عمومی به دو دسته قابل تقسیم هستند (شکل ۱-۱):

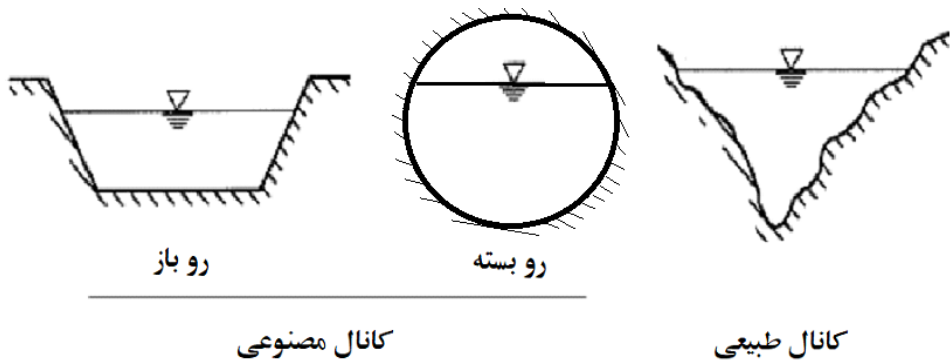
- الف - کanal‌های طبیعی،
- ب - کanal‌های مصنوعی (ساخته شده بدست انسان).

کanal‌های طبیعی:

آبراهه‌هایی طبیعی در سطح و یا زیر زمین هستند؛ برای مثال انواع آبگذرها، جوی‌ها، مسیل‌ها، رودخانه‌ها، نهرها و مدخل خلیج‌ها را می‌توان نام برد. ویژگی‌های هندسی و هیدرولیکی چنین جریان‌هایی به طور کلی نامنظم هستند. در آنها استفاده از نظریه‌های هیدرولیک، جواب تقریبی را بدست می‌دهد.

کanal‌های مصنوعی:

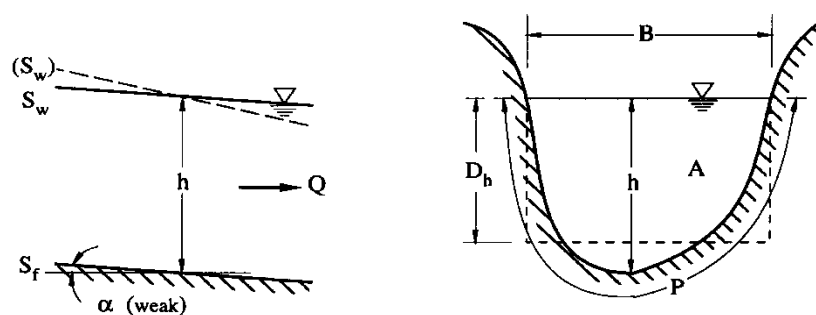
آبراهه‌هایی هستند که توسط بشر در سطح (یا زیر) زمین ساخته می‌شوند، مثل کانال‌های روباز (کانال‌های کشتیرانی، کانال‌های نیروگاهها، کانال‌های آبیاری و زهکشی) یا کانال‌های بسته‌ای که جریان سطح مقطع آنها را بطور کامل پر نمی‌کند (مثل تونل‌های آبرسانی، آبراهه‌ها، زهکش‌ها و کانال‌های انتقال فاضلاب). ویژگی‌های هندسی و هیدرولیکی چنین کانال‌ها در کل منظم هستند. استفاده از نظریه‌های هیدرولیک، جواب واقعی قابل قبولی را بدست می‌دهد. انواع مختلف مقاطع کانال‌های طبیعی و مصنوعی در شکل (۱-۱) نشان داده شده است.



شکل ۱-۱: مقاطع کانال‌های طبیعی و مصنوعی.

۲-۲-۱ عناصر هندسی و هیدرولیکی کanal‌ها

مقطع (عرضی) یک کanal، سطح مقطع عمود بر امتداد جریان می‌باشد. این مقطع یا بهتر بگوییم سطح مقطع جریان، A ، قسمتی از مقطع می‌باشد که در تماس با جریان آب است (شکل ۲-۱). کanalی که مقطع آن تغییر نمی‌کند و شیب طولی و زبری آن ثابت است - هر چند که عمق جریان ممکن است تغییر کند - کanal منشوری خوانده می‌شود، در غیر این صورت کanal را غیر منشوری می‌نامند.



شکل ۲-۱: عناصر معمول هندسی برای یک مقطع کanal.

عناصر هندسی یک مقطع و یا سطح مقطع مرطوب، A ، به صورت زیر می‌باشد:

الف- عرض سطح آب، B ، پهنه‌ای سطح آزاد آب در کanal می‌باشد.

ب- عمق جریان، h ، یا ارتفاع آب- اگر به صورت دیگری تعریف نشده باشد - حداکثر عمق در کanal در نظر گرفته می‌شود.

د- مساحت مقطع جریان، A ، عبارت از سطح مقطع جریان می‌باشد.

ج- عمق هیدرولیکی، D_h ، کanal به صورت زیر تعریف می‌شود:

$$D_h = \frac{A}{B} \quad (1-1)$$

محیط مرطوب کanal، P ، عبارت از خط تماس سطح مقطع مرطوب و بستر و دیواره‌های کanal به وجود می‌آید، که شامل سطح آزاد آب نمی‌شود.

(ii) شعاع هیدرولیکی، R_h ، نسبت سطح مرطوب، A ، به محیط مرطوب، P ، مقطع کanal است.

$$R_h = \frac{A}{P} \quad (2-1)$$

این شعاع اغلب به عنوان طول مرجع مورد استفاده قرار می‌گیرد. فرمول‌های عناصر هندسی پنج نوع مقطع مختلف کanal در جدول (۲-۱) داده شده است.

آبراهه‌های طبیعی ممکن است دارای یک شکل هندسی نامنظم باشند، اما اغلب با مقاطع ذوزنقه‌ای و یا سهموی تقریب زده می‌شوند. در کنار عناصر هندسی، شیب‌های طولی نیز مورد ملاحظه قرار می‌گیرند که شامل موارد زیر هستند:

(i) شیب بستر کanal (کف)، S_f ؛

(ii) شیب سطح آب (پیزومتریک)، S_w

در اصل مقدار شیب کف کanal به توپوگرافی و عوارض زمین بستگی دارد و اغلب ملایم می‌باشد، بنابراین ممکن است به صورت $S_f = \tan \alpha \approx \sin \alpha$ بیان شود. محیط مرطوب، P ، می‌تواند ترکیبی از یک بستر ثابت و بدون حرکت (سیمان و سنگ) یا یک بستر متحرک (ذرات رسوبی) باشد. جدول (۲-۷) عناصر هندسی برای کanal‌ها با مقاطع مختلف را نشان می‌دهد.

۳-۱ مقدمه‌ای بر هیدرولیک جریان در کanal ها

۱-۳-۱ انواع جریان در کanal های روباز

جریان در کanal‌های طبیعی و مصنوعی، با سطح آزاد بوده که دارای سطح جداکننده آب و هوا می‌باشد؛ و در این سطح فشار برابر با فشار اتمسفر است.

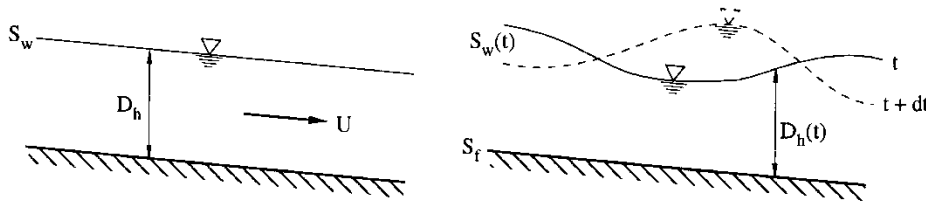
جريان در کanal‌های روباز بستگی به شیب بستر دارد، در حالی که جريان در مجاري بسته ناشی از اختلاف فشار مابین مقاطع می‌باشد. دسته‌بندی انواع جريان در کanal‌های روباز ممکن است وابسته به تغيير عمق جريان (D_h) یا توجه به زمان و مكان انجام پذيرد، يعني: $(D_h = f(t, x))$

الف- جريان متغير زمانی (شکل ۳-۱).

چنانچه سرعت متوسط جريان، U ، و سرعت لحظه‌ای، u ، همچنین عمق جريان، D_h یا h ، نسبت به زمان بزرگی و جهت آن ثابت باقی بماند، جريان دائمی (پايدار) خواهد بود، در نتيجه، دبی جريان:

$$Q = AU \quad (3-1)$$

ما بين مقاطع مختلف کanal، با فرض عدم وجود جريان‌های ورودی و خروجی جانبی، دبی ثابت باقی می‌ماند. اگر عمق هيدروليکي، $D_h(t)$ ، و ساير پارامترها با زمان تغيير نماید، جريان غير دائمی است. در نتيجه، دبی جريان ثابت نخواهد بود. شکل (۳-۱) شكل عمومي جريان‌های دائمي و غير دائمي در کanal‌ها را نشان می‌دهد.



شکل ۳-۱: فرم عمومی جريان‌های دائمی و غير دائمی در کanal‌های روباز

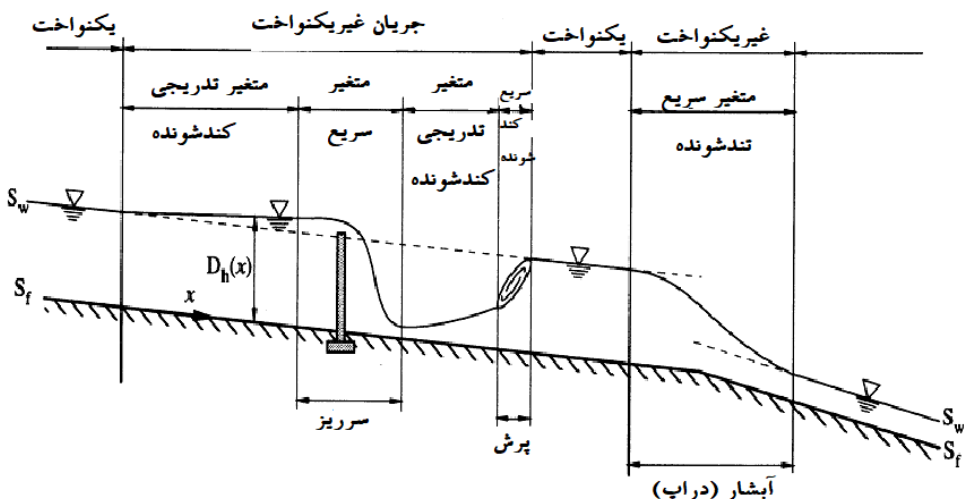
اگر دقیق تر بگوئیم، جريان در يك کanal روباز بnderت دائمی است. با وجود اين، تغييرات نسبت به زمان اغلب به قدر کافی آرام است که جريان را بتوان دائمی فرض نمود و اين فرض را حداقل برای فاصله‌های زمانی کوتاه‌تر می‌توان به کار برد.

ب- جريان متغير مكانی

اگر عمق جريان، D_h ، هم چنین ساير پارامترها در هر مقطع کanal نسبت به طول کanal ثابت باشد، جريان یکنواخت است. آنگاه خط شيب کف بستر با سطح آب آزاد موازي با $S_f \equiv S_w$ می‌شود. اگر عمق جريان، $D_h(x)$ ، و همچنین ساير پارامترهای جريان، در طول کanal تغيير نماید، جريان غير یکنواخت است. آنگاه شيب کف بستر با شيب سطح آب مغایر خواهد بود، يعني $S_f \neq S_w$. جريان غير یکنواخت می‌تواند دائمی یا غير دائمی باشد.

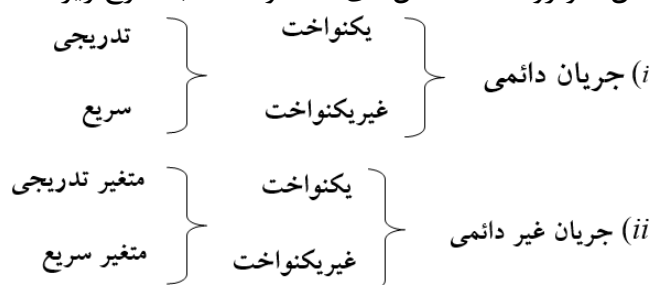
جريان متغير وابسته به تغيير سرعت در امتداد جريان، می تواند شتابدار افزایشی، $du/dx > 0$ یا کاهشی، $du/dx < 0$ باشد. اگر جريان از نوع متغير تدریجي باشد، عمق جريان، $D_h(x) \cong D_h$ ، همچنین سایر پارامترها از مقطعی به مقطع دیگر، به تدریج تغییر می نماید. می توان فرض نمود که در طول کوچکی از کanal، جريان شبکه یکنواخت (quasi-uniform) است و در اصل سرعت جريان، U ، ثابت باقی می ماند.

اگر جريان از نوع متغير سریع باشد، عمق جريان، $D_h(x)$ هم چنین سایر پارامترها در فاصله زمانی کوتاه، به سرعت تغیير پیدا می کند، که برخی مواقع با یک جريان ناپیوسته نیز همراه است. این نوع جريان در کل در همسایگی نقطه مجرد مجدد یا تکین، از قبیل یک آبگذر یا در یک تغیير عرض کanal، هم چنین در یک پرش هیدروليکی یا یک افت هیدروليکی (آبشار) رخ می دهد. شکل (۴-۱) انواع مختلف جريان های ممکن در مسیر کanal ها و رودخانه ها را نمایش می دهد. که شامل: جريان های دائمی و غير دائمی، یکنواخت و غیر یکنواخت، متغير تدریجي و متغير سریع بوده، و در مجاورت انواع سازه های کنترل ملاحظه می شوند.



شکل ۴-۱: انواع جريان های دائمی، یکنواخت و غیر یکنواخت.

انواع جريان در هیدروليک کanal ها و رودخانه (شکل های ۱-۳ و ۴-۱) به شرح زیر خلاصه می شود:



۱-۳-۲ رژیم جریان در کانال‌ها

در اصل فیزیک جریان در کانال‌های روباز تحت تأثیر عکس العمل نیروهای متقابل زیر قرار می‌گیرد:

- نیروهای اینرسی،
- نیروهای ثقلی،
- نیروهای اصطکاک (ناشی از لزوجت و زبری).

پس از تعیین نیروهای فوق، معادلات خلاصه شده حرکت جریان (Graf & Altinakar, 1991) با اعداد بدون بعد زیر معرفی می‌شوند که این اعداد برای تعیین رژیم جریان نیز به کار می‌روند:

(i) عدد فرود، Fr ، عبارت از نسبت نیروهای ثقلی به نیروهای اینرسی است، یا:

$$\frac{\rho g}{\rho U_c^2 / L_c} = \frac{gL_c}{U_c^2} = Fr^{-2} \quad \text{و} \quad Fr = \frac{U_c}{\sqrt{gL_c}} \quad (4-1)$$

(ii) عدد رینولدز، Re ، عبارت از نسبت نیروهای اصطکاک به اینرسی است، یا:

$$\frac{\mu(U_c / L_c)}{\rho U_c^2 / L_c} = \frac{\nu}{U_c L_c} = Re^{-1} \quad \text{و} \quad Re = \frac{U_c L_c}{\nu} \quad (5-1)$$

باید عامل زبری نسبی را نیز به این دو اعداد بدون بعد اضافه کرد:

(iii) زبری نسبی، عبارت از نسبت ضخامت زبری، k_s ، به یک مشخصه طولی، یا:

$$\frac{k_s}{L_c} \quad (6-1)$$

عبارت از مشخصه‌های سرعت و طول هستند، می‌توان $U_c = U$ در نظر گرفت و

در هیدرولیک جریان در کانال‌های روباز، اعداد بدون بعد زیر معرفی می‌شوند:

$$\begin{aligned} Re' &= \frac{R_h U}{\nu} & \text{و} & \frac{k_s}{D_h} \\ Fr &= \frac{U_c}{\sqrt{g D_h}} & \text{و} & Re = \frac{4 R_h U}{\nu} \end{aligned} \quad (7-1)$$

عدد رینولدز جریان به منظور طبقه‌بندی حالت جریان به شرح زیر به کار می‌رود (Graf & Altinakar, 1991):

- | | |
|--------------|-----------------------|
| $Re' < 500$ | جریان آرام یا ورقه‌ای |
| $Re' > 2000$ | جریان آشفته یا مغشوش |

- جریان گذرا یا ترااتریشن

$$500 < \text{Re}' < 2000$$

از آزمایشات گوناگون روی کانال‌های مصنوعی (Chow, 1959)، نتیجه می‌شود که اگر عدد رینولدز، Re' به مقداری معادل 2000 برسد، جریان آشفته یا مغشوش می‌شود. جریان در کانال‌های روباز به صورت آشفته بوده و اغلب جریان از نوع غیرهموار هیدرولیکی است.

عدد فرود جهت طبقه‌بندی نوع جریان به شرح زیر بکار می‌رود:

- جریان زیر بحرانی (رودخانه‌ای) $Fr < 1$

- جریان فوق بحرانی (سیلانی) $Fr > 1$

- جریان بحرانی $Fr \equiv Fr_c = 1$

در کل، جریان در کانال‌های روباز از همین سه نوع خارج نیست.

در نتیجه، از ترکیب اثر عدد رینولدز Re' و عدد فرود Fr چهار نوع رژیم جریان زیر بددست می‌آید:

$\text{Re}' > 500$ $Fr < 1$; جریان زیر بحرانی - آرام،

$\text{Re}' > 2000$ $Fr < 1$; جریان زیر بحرانی - آشفته،

$\text{Re}' < 500$ $Fr > 1$; جریان فوق بحرانی - آرام،

$\text{Re}' > 2000$ $Fr > 1$; جریان فوق بحرانی - آشفته.

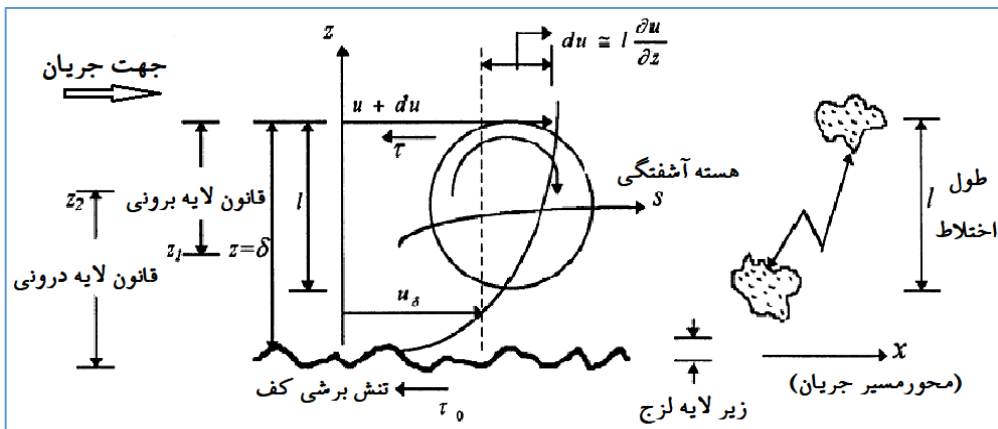
۱-۴ توزیع سرعت جریان در کانال‌ها

جریان موجود در امتدادهای مختلف دارای توزیع‌های گوناگونی است که به شرح زیر مورد بررسی قرار می‌گیرد.

۱-۴-۱ توزیع سرعت در امتداد مسیر جریان

جریان موجود در طول دیواره (یا بستر کانال)، دارای توزیع سرعت است (Graf & Altinakar, 1991). سرعت نقطه‌ای، u ، در دیواره به طور تقریبی مساوی صفر بوده و به سرعت به سوی سطح آزاد جریان افزایش می‌یابد. حداقل مقدار آن اغلب اندکی پایین‌تر از این سطح آزاد واقع می‌شود. پروفیل توزیع سرعت در امتداد عمق جریان تقریباً لگاریتمی است.

در کل، جریان دائمی به سه متغیر x و y بستگی دارد؛ که این جریان سه بعدی می‌شود. نواحی مختلف لایه‌های مرزی و توزیع قائم لگاریتمی سرعت در جداره‌های زیر کانال‌ها در شکل (۱-۵) ملاحظه می‌گردد.



شکل ۵-۱: نواحی مختلف لایه های مرزی، توزیع قائم سرعت لگاریتمی برای یک جداره کanal زبر به همراه معرفی طول اختلاط متلاطم (Mohammadi, 1998)

در یک کanal با پهنای عریض B – عریض در مقایسه با عمق، $B > 5h$ – جریان دو بعدی است، جدای از جریان موجود در نزدیکی دیواره های قائم است. اگر فرض کنیم جریان یک بعدی باشد، محاسبات هیدرولیکی به طور قابل ملاحظه ای ساده می شود. سرعت متوسط $(U(x))$ در طول قائم یا در مقطع به صورت زیر بیان می شود:

$$U = \frac{1}{h} \int_0^h u(z) dz \quad \text{یا} \quad U = \frac{1}{A} \int_0^B \int_h^h u(z) dz dy \quad (8-1)$$

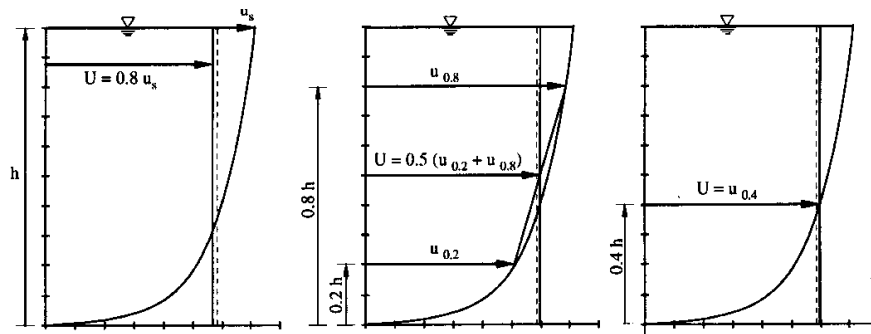
در کanal های روباز با شکل هندسی ساده، در کل جریان مشوش محاسبه می شود، به طوری که سرعت نقطه ای $u(x, z)$ با سرعت متوسط $(U(x))$ متفاوت است.

در شرایط جریان دائمی، بررسی فرضیه جریان یک بعدی امکان پذیر است. برای تعیین سرعت متوسط، U ، در یک مقطع داده شده، روابط تقریبی زیرمورد استفاده قرار می گیرد (شکل های ۶-۱ را ببینید):

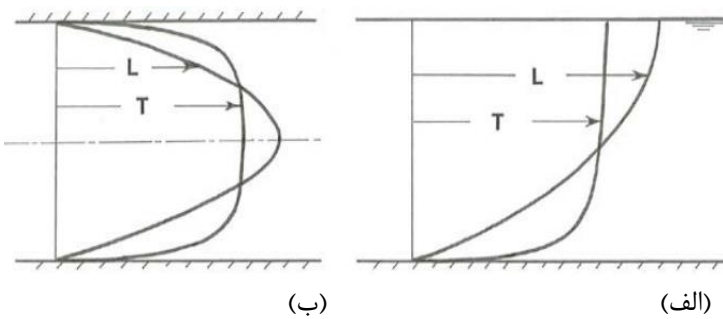
$$U \approx (0.8 - 0.9)u_s \quad (\text{فرمول Prony}) \quad (9-1-\alpha)$$

$$U \approx 0.5(u_{0.2} + u_{0.8}) \quad (\text{فرمول USGS}) \quad (9-1-\beta)$$

که در آن $u_{0.2}$ ، $u_{0.8}$ و u_s عبارت از سرعت های نقطه ای در نقاط ارتفاعی فرض شده است.



شکل ۱a: توزیع های عمقی سرعت متوسط.

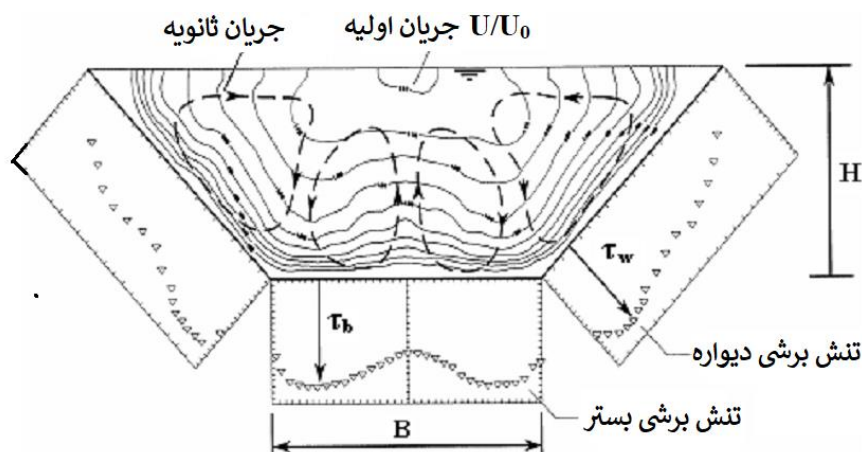


شکل ۱b: توزیع عمقی سرعت در رژیم های آرام، L، و مغشوش، T،

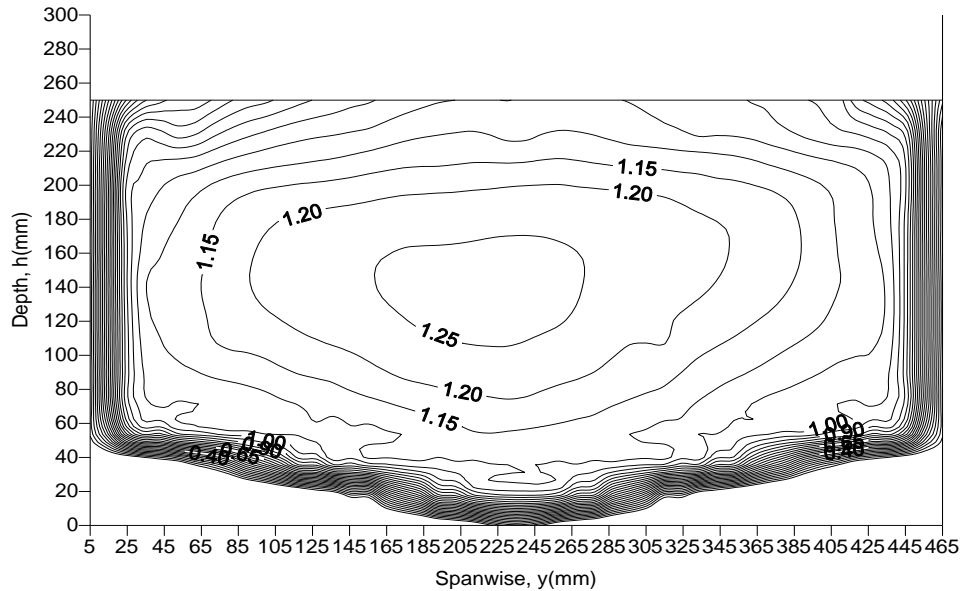
(الف) در کanal روباز ، (ب). در لوله

۲-۴-۱ منحنی های هم سرعت (*Isovels*)

در مقاطع کanal های مختلف با اندازه گیری سرعت های نقطه ای می توان کنتور و یا منحنی های هم سرعت را ترسیم نمود. نمونه ای از این نوع توزیع ها را که برای یک مقطع کanal ذوزنقه ای توسط نایت و همکاران در شکل (۱-الف)، و برای یک مقطع مستطیل با کف V- شکل تو سط محمدی تهیه شده است، ملاحظه کنید.



شکل ۷ الف-۱: منحنی های هم سرعت، توزیع تنش برشی جداره و الگوی جریان ثانویه در کanal ذوزنقه ای شکل (نایت و همکاران، ۱۹۹۴) (*Knight et al, 1994*)



شکل ۷ ب-۱: منحنی های هم سرعت در یک کanal مستطیلی با کف V-شکل (*Mohammadi, 1999*)

معادله حاکم بر جریان دائمی یک سیال تراکم ناپذیر (*Graf & Altinakar, 1991*), در امتداد مؤلفه قائم ($n \equiv z$) عبارتست از:

$$U \frac{U}{r} = -\frac{1}{\rho} \frac{\partial}{\partial n} (p + \gamma') \quad (10-1)$$

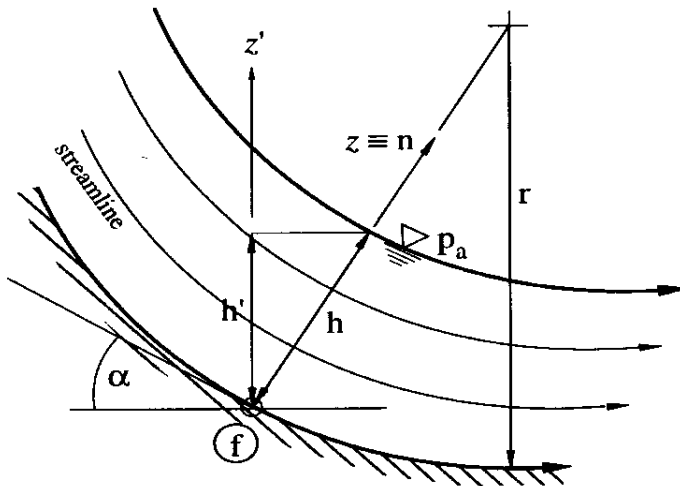
طوری که نسبت (U^2/r) شتاب گریز از مرکز جرمی سیال است که جایگزین خط انحنای خود (r) می شود (شکل ۱-۹ را ببینید). با فرض اینکه U و r به نسبت ثابت باقی میمانند، از انتگرال گیری معادله (۱۰) داریم:

$$(p + \gamma') = -\rho \int \frac{U^2}{r} dn + Cte = -\rho \frac{U^2}{r} z + Cte \quad (10-1a)$$

در فشار نسبی (نسبت به فشار اتمسفر) روی بستر کanal رابطه زیر توصیف می شود:

$$p_f = \gamma h' + \rho \frac{U^2}{r} h + p_a \quad (11-1)$$

در این صورت شامل فشار هیدرواستاتیک و متحرک خواهد بود.



شکل ۱-۸: جریان روی یک بستر مقعر.

۶-۱ جریان یکنواخت

وقتی که سرعت متوسط (U) ثابت باقی بماند و خطوط مسیر جریان به طور قابل قبول در امتداد یکدیگر قرار بگیرند (با $r \rightarrow \infty$)، توزیع فشار در یک مقطع عمود بر بستر، جریان یکنواخت هیدرواستاتیک است (شکل ۱-۹).

بنابراین با در نظر گرفتن $\zeta \equiv n$ (معادله ۱۰-۱) می‌توان نوشت:

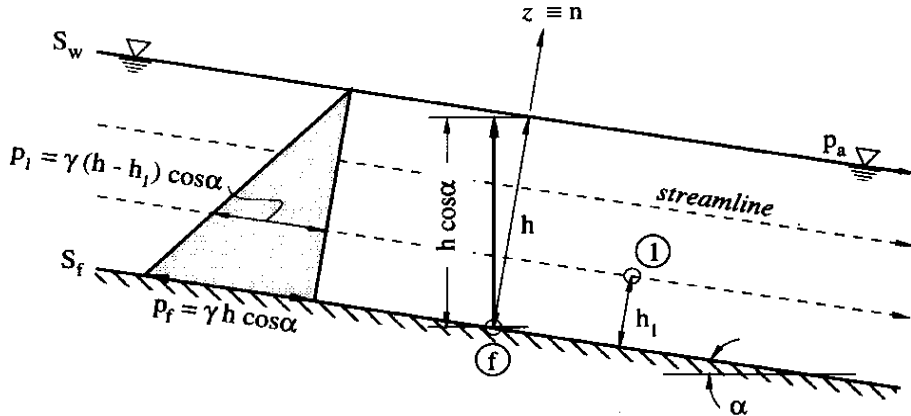
$$0 = \frac{\partial}{\partial \zeta} (\gamma \zeta' + p) \quad (12-1)$$

یک توصیف فشار، نسبت به بستر، به صورت زیر بیان می‌شود:

$$p_f = +\gamma h' \quad (13-1)$$

که داریم:

$$\left(\frac{p}{\gamma} \right)_f = h \cos \alpha \quad (14-1)$$



شکل ۱-۹: جریان در مسیر یکنواخت.

برای کانال‌های روباز معمول، زوایه شیب α ملایم و ضعیف، یعنی $6^\circ < \alpha < 1^\circ$ و $\cos \alpha \approx 1$ است، در نتیجه معادله (۱-۱۴) به فرم زیر تبدیل می‌شود:

$$\left(\frac{p}{\gamma} \right)_f = h \quad (15-1)$$

در این معادله، h همان عمق جریان در کanal است.

۷-۱ جریان در مسیرهای انحنایار

برای جریان، (اندکی) غیر یکنواخت، مسیر جریان انحنایار از نوع همگرا یا واگرای است. در این گونه جریان یک مؤلفه شتاب توسط نیروهای اینرسی به وجود می‌آید. چنان که پیشتر داشتیم، می‌توان نوشت:

$$\frac{U^2}{r} = -\frac{1}{\rho} \frac{\partial}{\partial n} (p + \gamma') \quad (10-1)$$

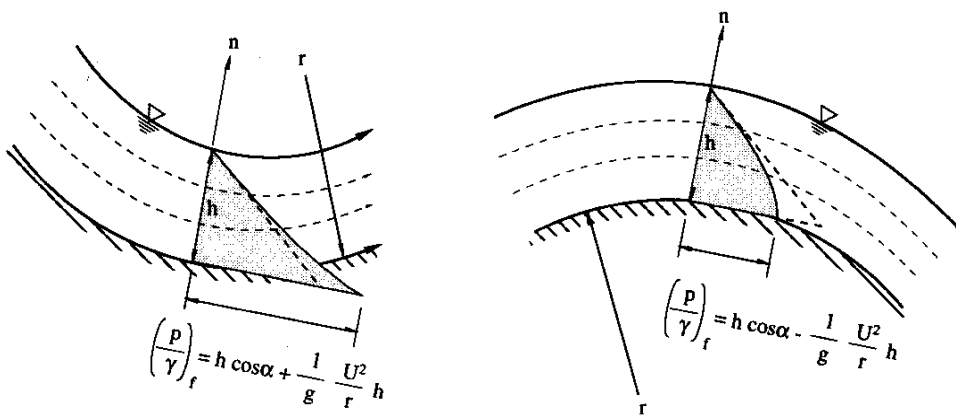
در این صورت، برای فشار نسبی روی بستر، با رابطه زیر یک توصیف داده می‌شود:

$$p_f = \gamma h' + \rho \frac{U^2}{r} h + p_a \quad (11-1)$$

علامت (+) برای بستر مقعر و علامت (-) برای بستر محدب است. بدین ترتیب:

$$\left(\frac{p}{\gamma}\right)_f = h \cos \alpha \pm \frac{1}{g} \frac{U^2}{r} h \quad (16-1)$$

توزیع فشار چندان هیدرواستاتیک نیست (شکل ۱-۱۰ را ببینید). برای یک جریان مقعر به سمت خارج، نیروی گردیز از مرکز سبب افزایش فشار می شود؛ ولی برای یک جریان محدب، این نیرو سبب کاهش فشار می گردد. در حالت اخیر، فشار می تواند به زیر فشار اتمسفر رسیده، که سبب جدائی جریان از روی جداره کanal می شود. نمونه ای از کاربردهای این توزیع ها در سرریزهای روجریانی سدها نیز ملاحظه می شود.



شکل ۱-۱۰: جریان بر روی یک جداره مقعر و محدب.